









Amostragem passiva voltada para análise de agrotóxicos polares e apolares e sua aplicabilidade para monitoramento ambiental

Marco Tadeu Grassi

Grupo de Química Ambiental, Departamento de Química – UFPR Observatório Multidisciplinar do Meio Ambiente – OMMA / UFPR Departamento de Cientistas e Núcleo de Estudos de Bioética – BSGI

Amostradores passivos

Vantagens

- Possibilitam a coleta e concentração in situ
- Fornecem dados integrados temporalmente
- Geram informações com elevada resolução espacial
- Minimizam a possibilidade de adulteração da amostra

Requisitos desejáveis

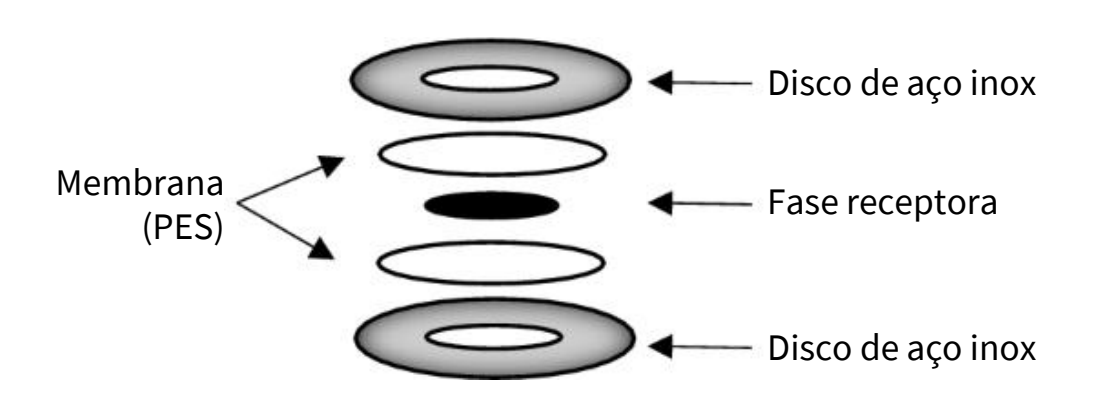
- Simples de fabricar e manusear
- Insensíveis a interferentes
- Baixo custo

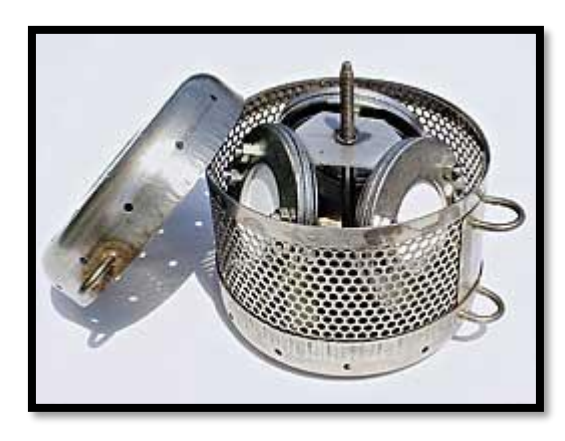


Exemplos



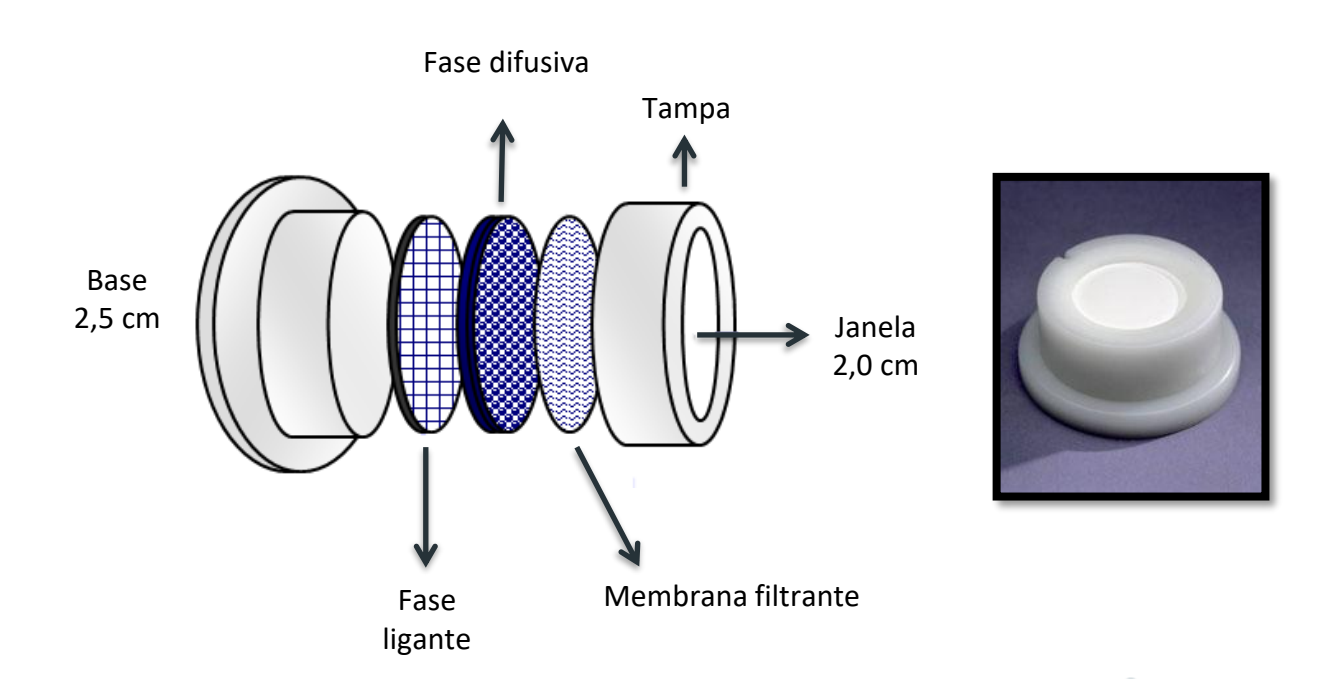
Polar Organic Chemical Integrative Sampler (POCIS)





www.est-lab.com/pocis.php

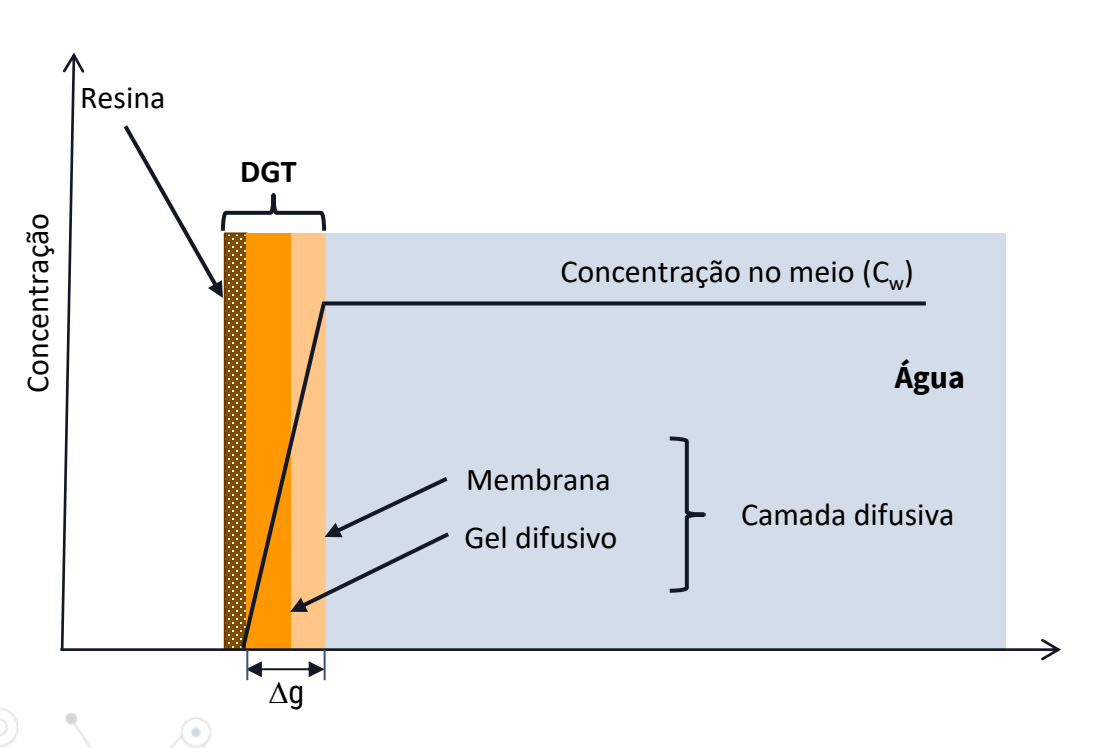
Diffusive Gradient in Thin Films – DGT







Como funciona



Primeira lei da difusão de Fick

$$C_w = \frac{M Ag}{D A t}$$

M = Massa do analito

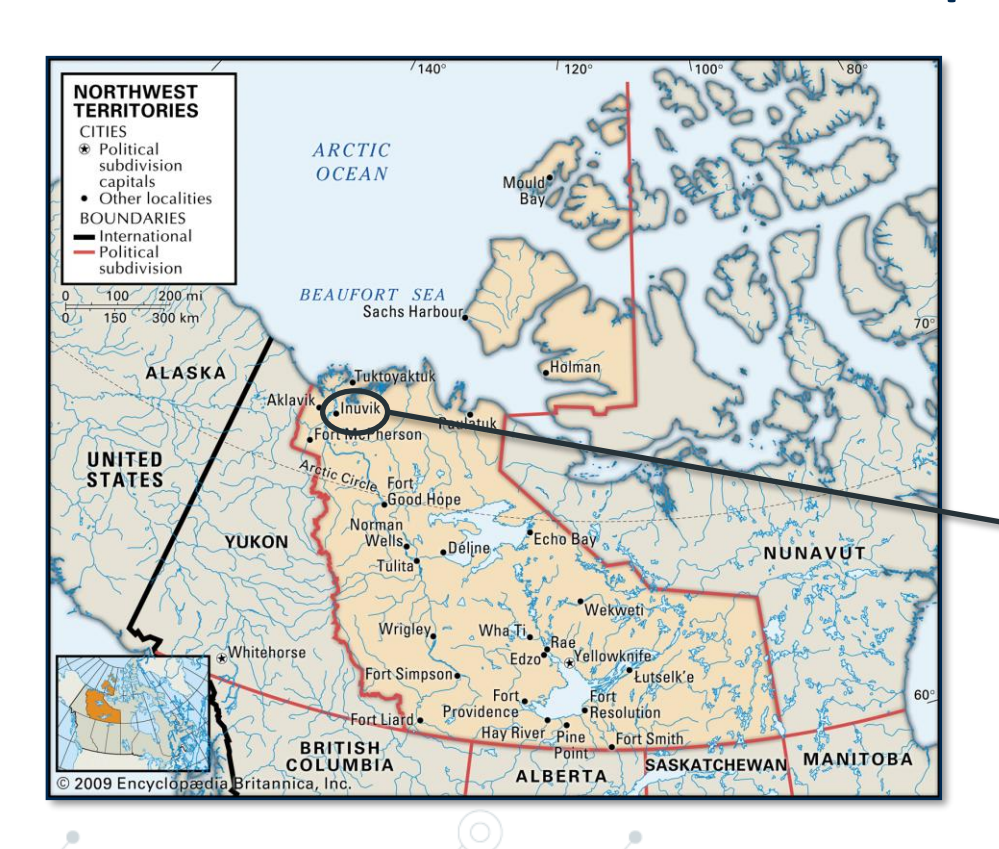
 Δg = Espessura da camada difusiva

D = Coeficiente de difusão

A = Área de exposição

t = Tempo de exposição

Monitoramento ambiental com apoio da comunidade



- Cd, Co, Cu, Ni, Pb
- 22 rios
- Julho Outubro de 2012
- Resultados coerentes com estudos de QA/QC

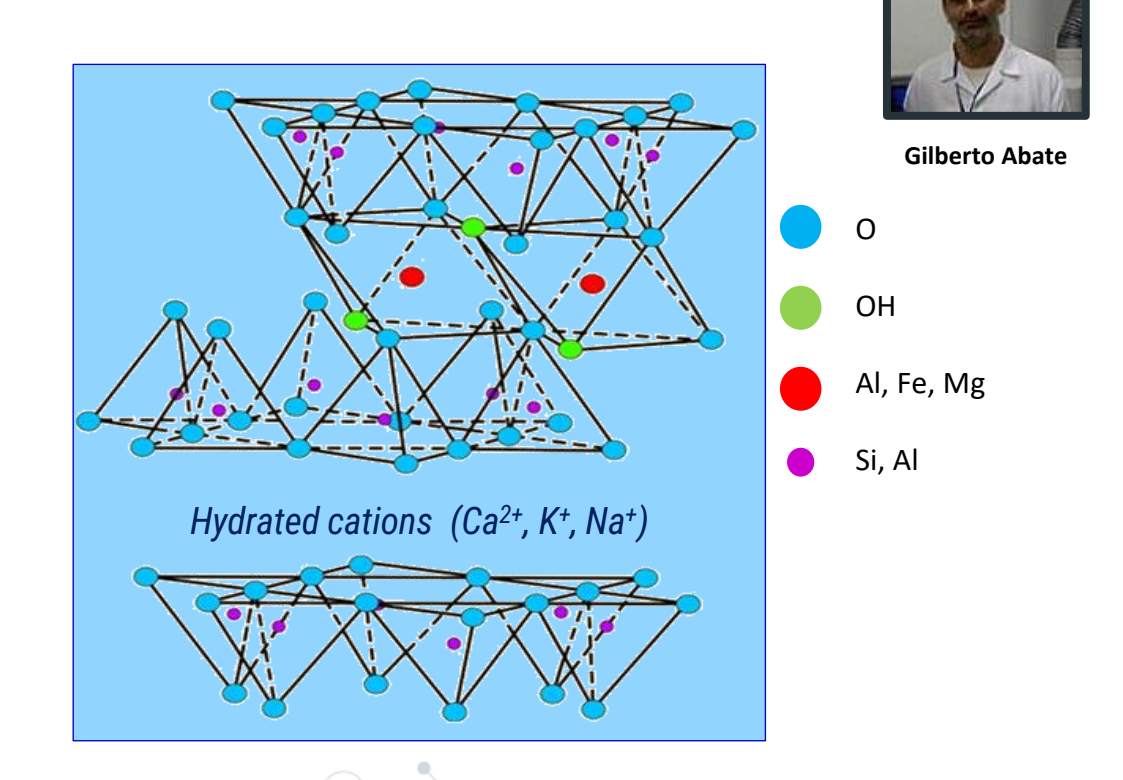


Resina comercial × Argilominerais

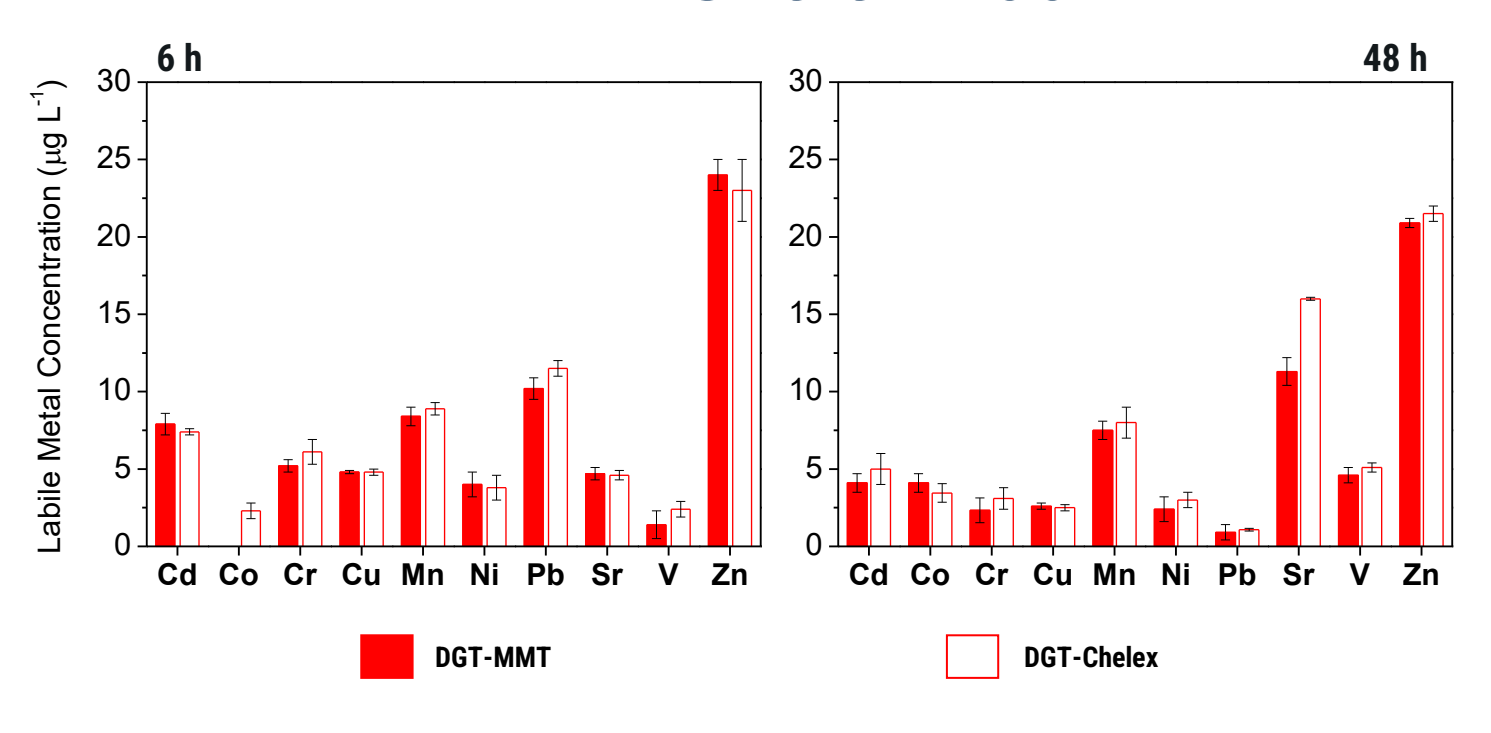
Montmorilonita e vermiculita

 Duas camadas tetraédricas de sílica e uma octaédrica de alumina

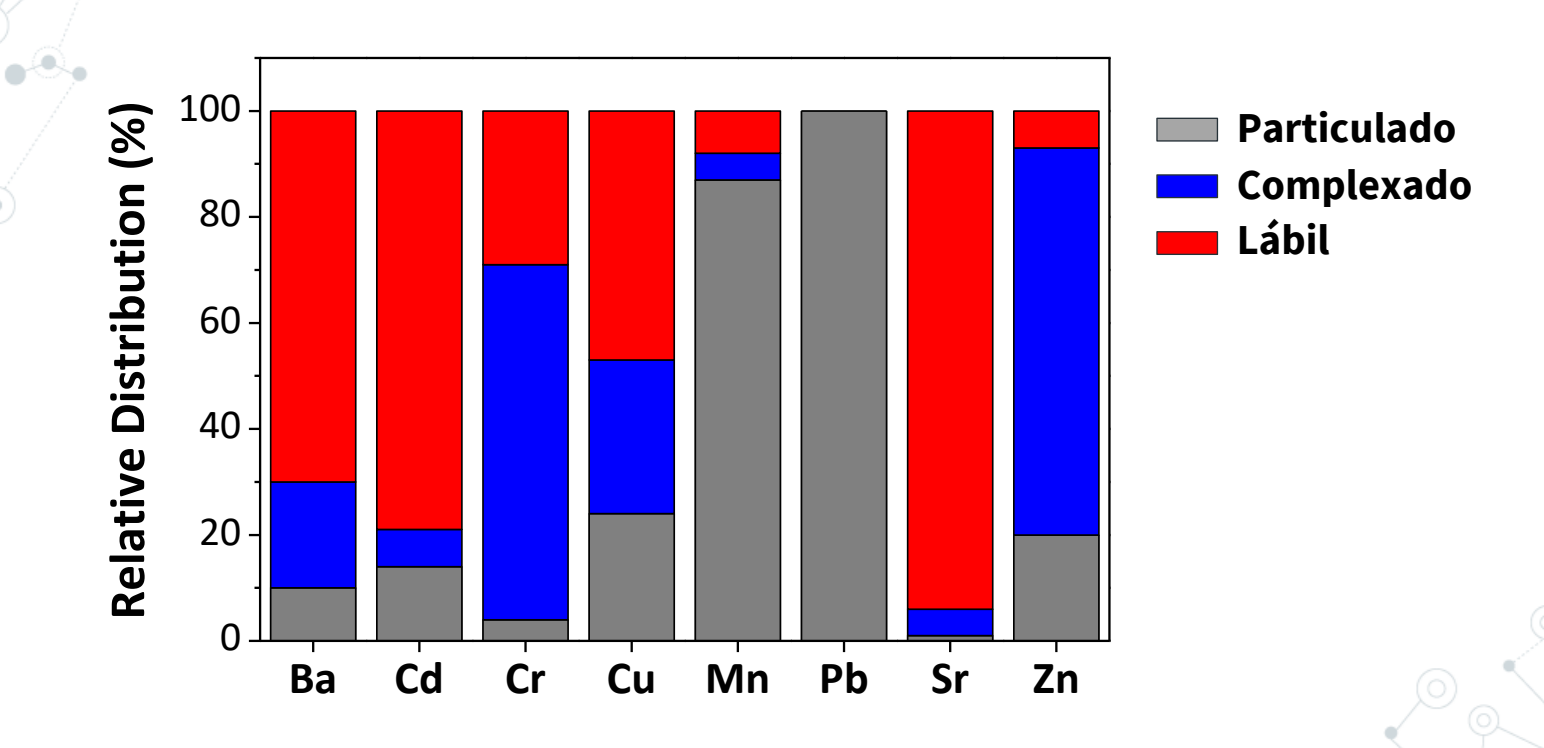
- ✓ Material de origem natural
- ✓ Baixo custo
- ✓ Elevada disponibilidade
- ✓ Uso possível para espécies catiônicas e aniônicas



MMT × Chelex-100



Especiação



Otimização

Capacidade sortiva

Espécies metálicas

Dessorção

- Concentração
- Extração

Condições de aplicação

- pH
- Força iônica
- COD
- Material particulado

Determinação do coeficiente de difusão



$$D' = \frac{k \, \Delta g}{C \, A}$$

Testes de recuperação

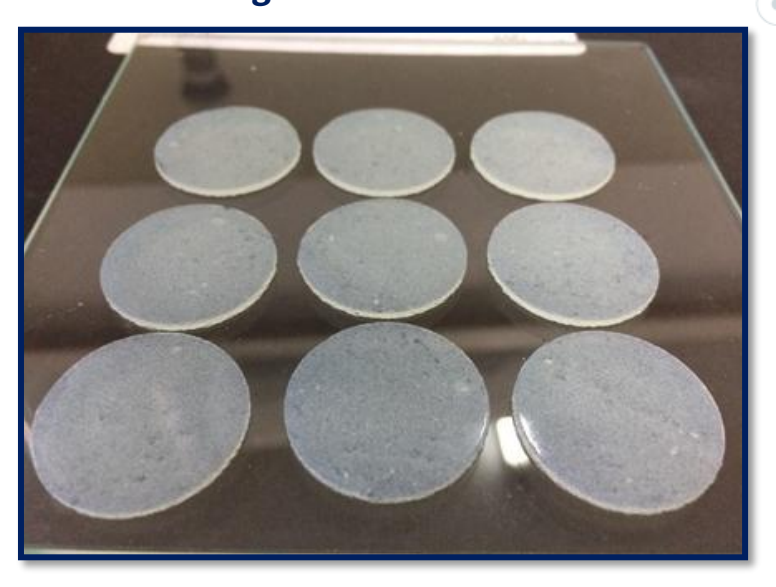
• 3 níveis de concentração

o-DGT

Hidrogel de agarose

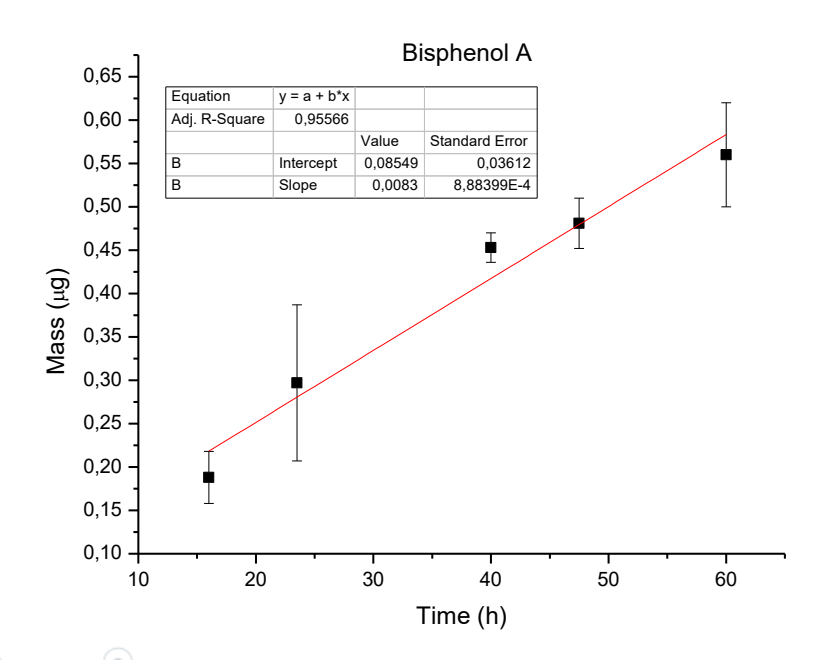


Hidrogel com Oasis HLB



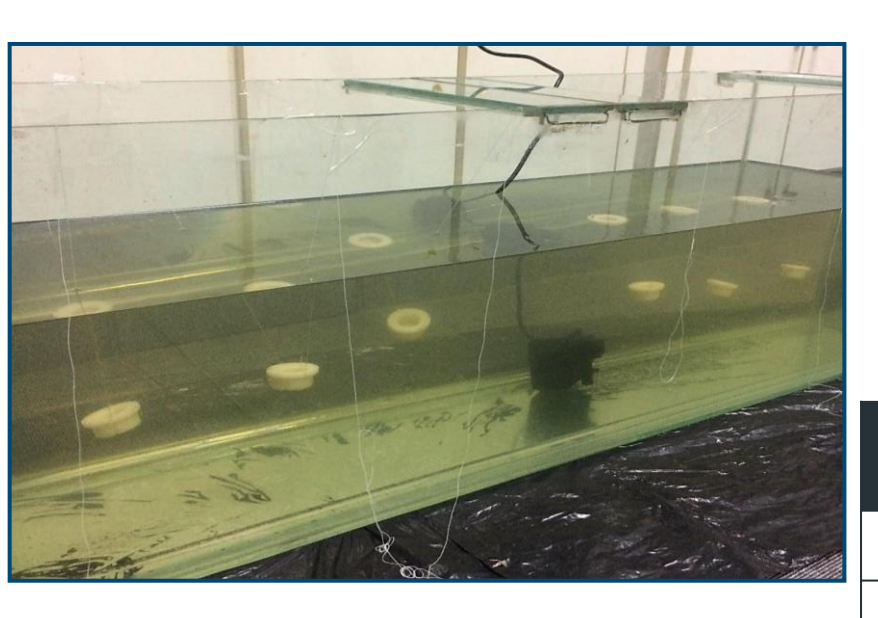


o-DGT



Substância	D' (x10 ⁻⁶ cm ² s ⁻¹)
Octilfenol	2,95
Nonilfenol	0,750
Triclosan	3,37
Bisfenol A	4,69

Aplicação em águas de abastecimento público e de rio





Tiago Wacheski

CE	Torneira ng L ⁻¹ (n = 5)	Rio μg L ⁻¹ (n = 6)	Fator de concentração
Octylphenol	102 ± 22	$10,8 \pm 6,4$	60
Nonylphenol	403 ± 78	9,5 ± 5,3	15
Triclosan	226 ± 16	$0,6 \pm 0,4$	70
Bisphenol A	250 ± 20	0,05 ± 0,02	100

7 dias pH 7,4 17,3 ± 0,9 °C

Wacheski et al., J. Braz. Chem. Soc., 2021

o-DGT com fases ligantes alternativas

Carvão ativado comercial

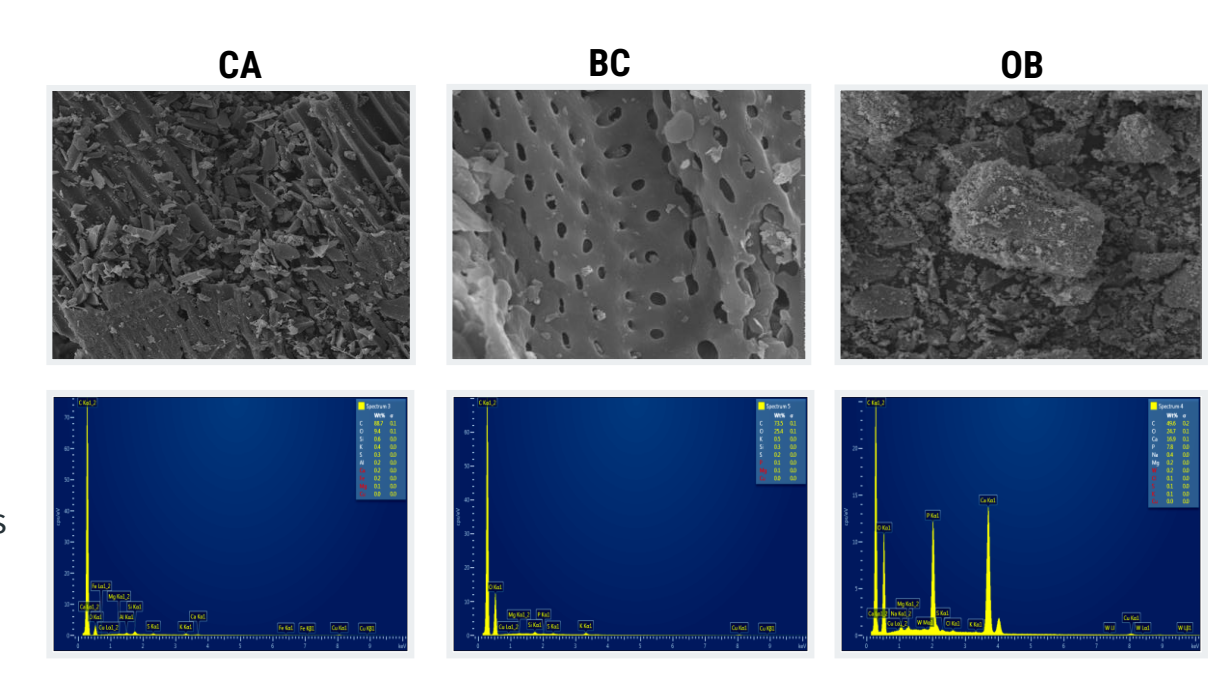
- Origem vegetal
- 700 °C

Biocarvão de casca de árvore

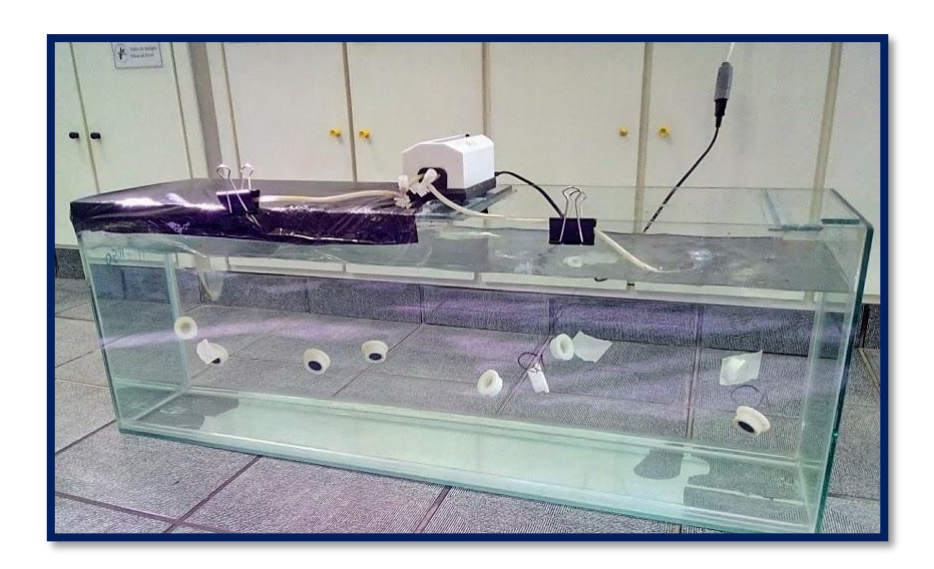
- Acacia mearnsii (acácia negra)
- 400 °C

Biocarvão de osso bovino

- Resíduos de açougues e matadouros
- 800 °C
- Macerado e peneirado à 100 mesh (0,149 mm)



Aplicação em água de abastecimento público



100 L 7 dias



Emerson L. Y. Hara

	Concentratação (ng L ⁻¹)					
Substância	Ibuprofeno	Octilfenol	Nonilfenol	Triclosan	Bisfenol A	
CA	34	53	27	51	29	

o-DGT para pesticidas

Analytica Chimica Acta 966 (2017) 1-10



Contents lists available at ScienceDirect

Analytica Chimica Acta

journal homepage: www.elsevier.com/locate/aca



Passive sampling of anionic pesticides using the Diffusive Gradients in Thin films technique (DGT)



Robin Guibal, Rémy Buzier*, Adeline Charriau, Sophie Lissalde, Gilles Guibaud

University of Limoges, Research Group on Water, Soil and Environment (GRESE), 123 Avenue Albert Thomas, 87060, Limoges Cedex, France

Elution yields (f_e) for HLB (with methanol/ethyl acetate (50:50)) and MAX (with methanol/1 M formic acid (90:10)) binding gels used in this study (SD in parentheses; n=6).

	HLB (E1 24 h)	MAX (E2 24 h)
Bentazon	97% (15)	74% (8)
Chlorsulfuron	95% (5)	81% (5)
Ioxynil	95% (19)	46% (9)
Mecoprop	95% (9)	86% (7)

o-DGT para pesticidas

Talanta Open 6 (2022) 100123

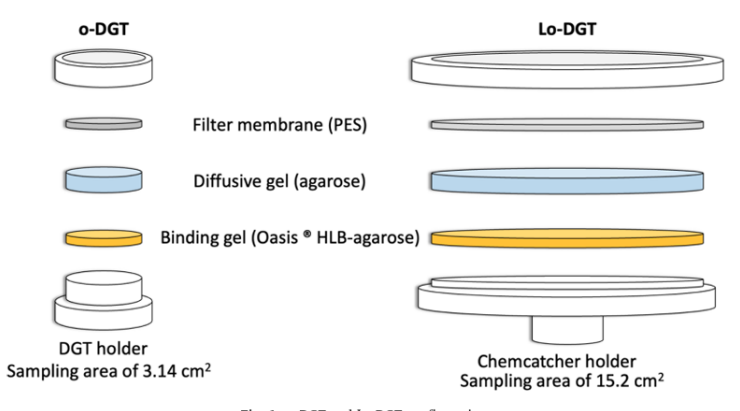




Sensitivity improvement of o-DGT for organic micropollutants monitoring in waters: Application to neutral pesticides

Rachel Martins de Barros, Juliette Rougerie, Thomas Ballion, Rémy Buzier , Stéphane Simon, Robin Guibal, Sophie Lissalde, Gilles Guibaud

Université de Limoges, E2Lim, 123 Avenue Albert Thomas, Limoges, Cedex 87060, France



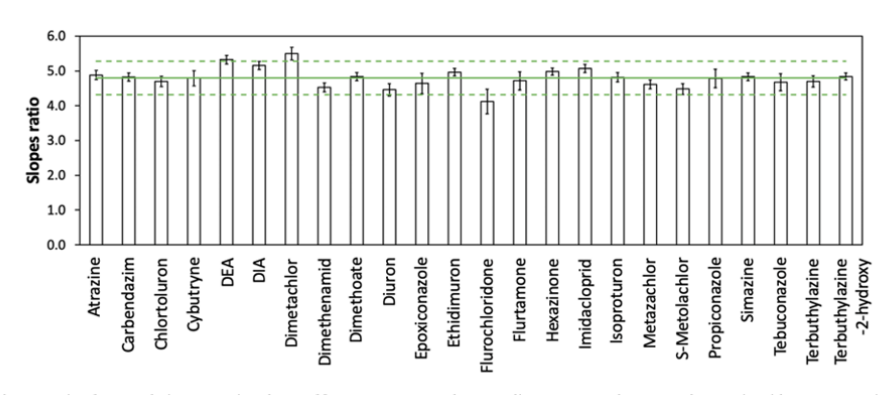


Fig. 4. Ratio of accumulation regression slopes of Lo-DGT to o-DGT. The green lines represent the expected 4.8-ratio with 10% uncertainty.

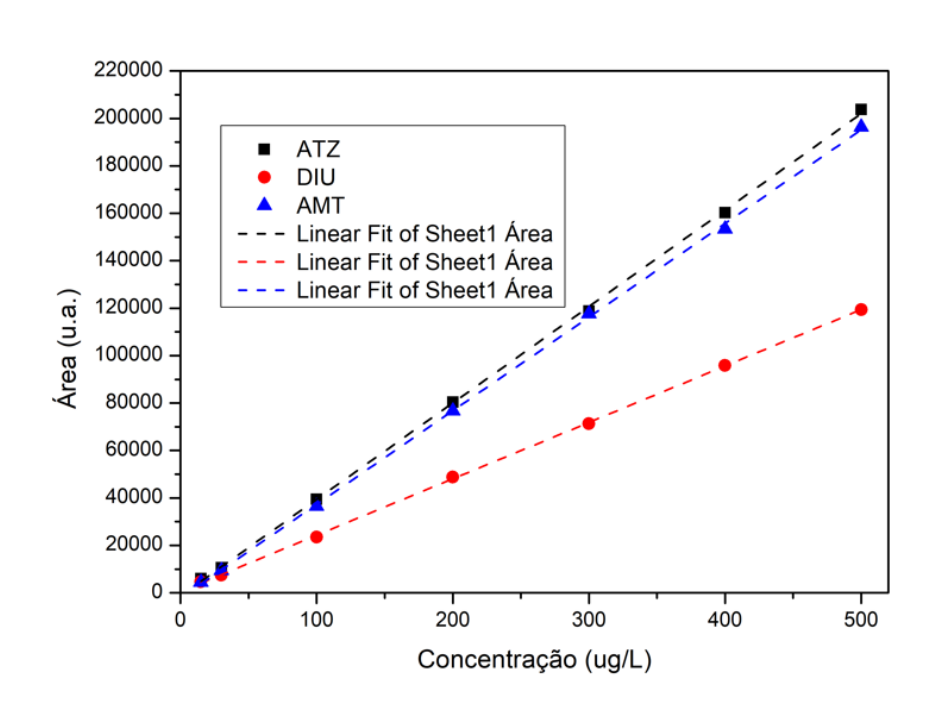
19

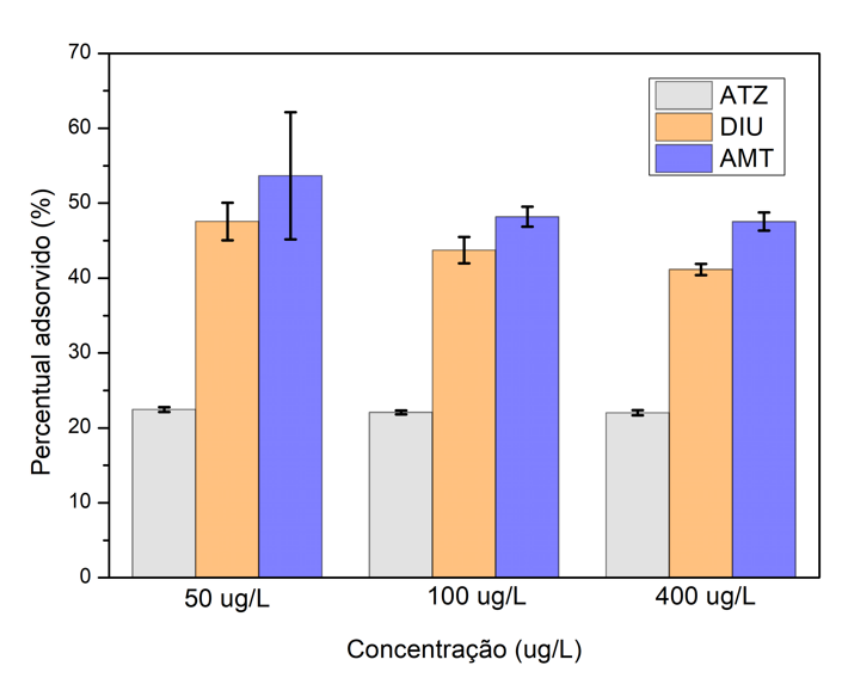
o-DGT com cortiça como fase ligante



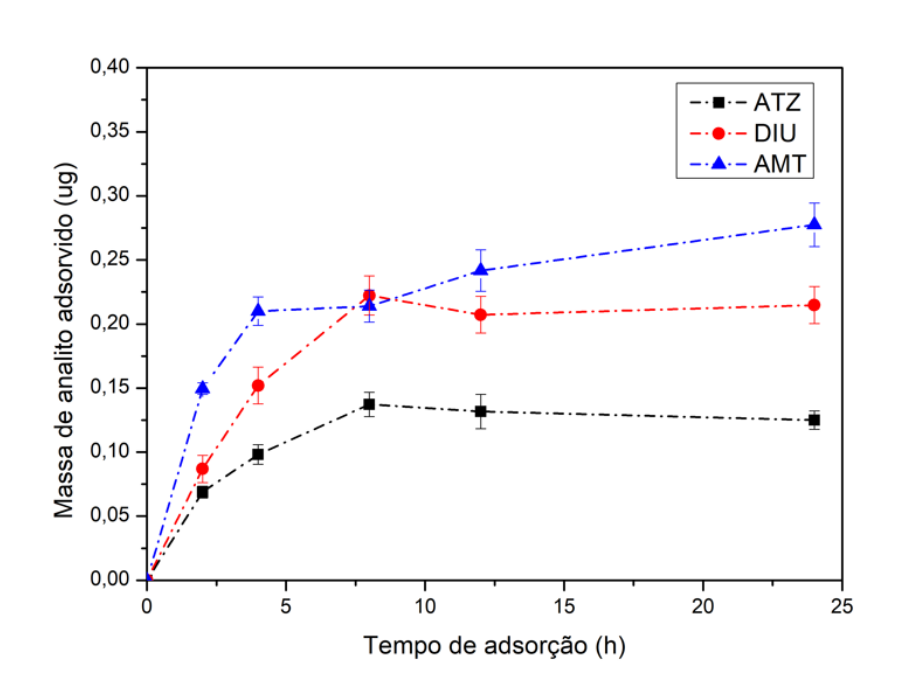


o-DGT com cortiça como fase ligante



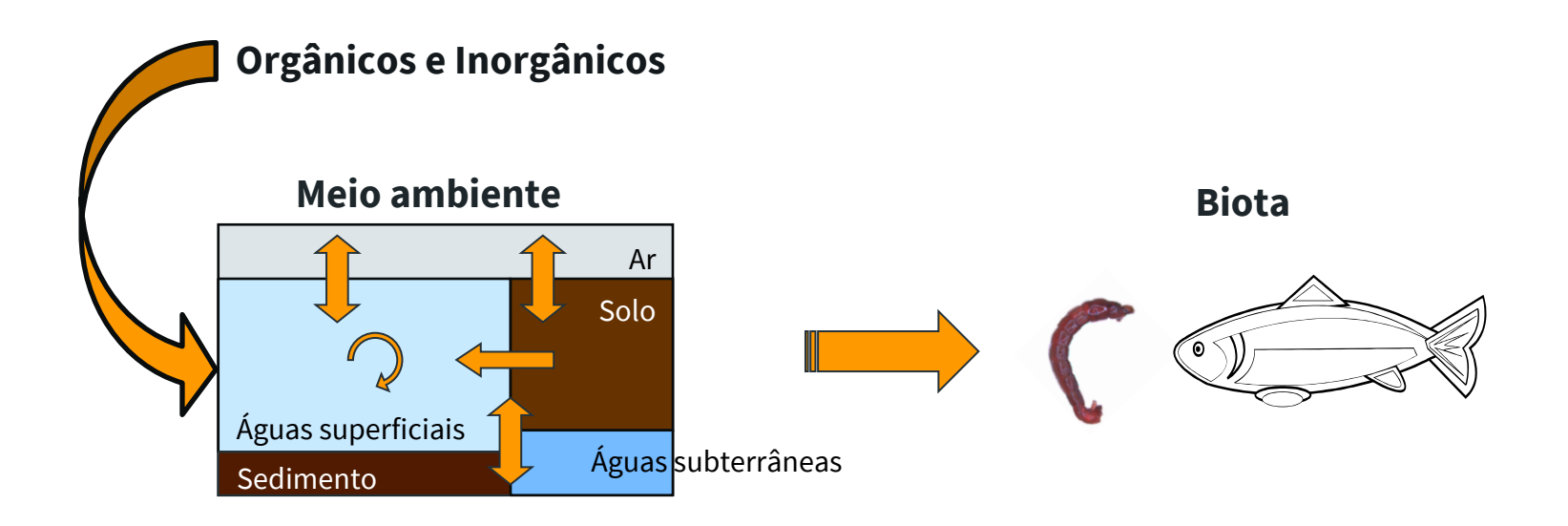


o-DGT com cortiça como fase ligante





Contaminantes



Desenvolvimento analítico

Agradecimentos



























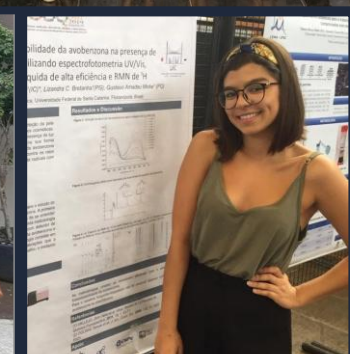














Obrigado!

mtgrassi@ufpr.br | mtgrassi@gmail.com